

# LISTA COMENTADA DE LAS AVES REGISTRADAS ENTRE EL CANAL BEAGLE E ISLA DE LOS ESTADOS, ARGENTINA

ANNOTATED CHECKLIST OF BIRDS RECORDED BETWEEN BEAGLE CHANNEL AND ISLA DE LOS ESTADOS, ARGENTINA

Jorge La Grotteria<sup>1,2\*</sup> & M. Alejandra Sosa<sup>3</sup>

<sup>1</sup>EcoRegistros. Martin H. Falco 328, Garín (1619), Escobar, Buenos Aires, Argentina

<sup>2</sup>Comité Argentino de Registros Ornitológicos. Aves Argentinas. Matheu 1246/8 Buenos Aires (C1249 AAB), Argentina

<sup>3</sup>Facultad de Ciencias Naturales y Museo, Universidad Nacional de La Plata, Paseo del Bosque s/n, 1900, La Plata, Buenos Aires, Argentina

\*jorgelagrotteria@ecoregistros.org

**RESUMEN:** Las aves marinas son indicadores clave de los ecosistemas oceánicos, pero la información sobre su distribución en el Canal Beagle, Estrecho de Le Maire e Isla de los Estados sigue siendo escasa. Entre el 11 y el 13 de noviembre de 2024 se realizaron censos sistemáticos a bordo de la lancha rápida A.R.A. "Indómita". Se registraron 22 especies y 10.497 individuos. La diversidad fue mayor en el Canal Beagle ( $H'=1.183$ ), intermedia en el norte de Isla de los Estados ( $H'=0.7747$ ) y mínima en el Estrecho de Le Maire ( $H'=0.1485$ ), dominado por la Pardela Oscura (*Ardenna grisea*). Entre los hallazgos relevantes destacan un Petrel Negro (*Procellaria westlandica*), especie En Peligro, cuya presencia en aguas argentinas es excepcional, y una fuerte concentración de Yuncos Magallánicos (*Pelecanoides magellani*), que sugiere un posible sitio reproductivo. Estos resultados aportan nueva evidencia sobre la avifauna marina en una región austral poco estudiada.

**PALABRAS CLAVE:** *aves marinas, Estrecho de Le Maire, Mar Argentino, Pelecanoides, Procellaria westlandica*

**ABSTRACT:** Seabirds are key indicators of ocean ecosystems, yet knowledge of their distribution in the Beagle Channel, Le Maire Strait, and Isla de los Estados remains limited. From November 11–13, 2024, systematic surveys were conducted aboard the A.R.A. "Indómita". A total of 22 species and 10,497 individuals were recorded. Diversity was highest in the Beagle Channel ( $H'=1.183$ ), intermediate in northern Isla de los Estados ( $H'=0.7747$ ), and lowest in Le Maire Strait ( $H'=0.1485$ ), dominated by the Sooty Shearwater (*Ardenna grisea*). Significant findings include a Westland Petrel (*Procellaria westlandica*), an Endangered species with very rare occurrence in Argentine waters, and a strong concentration of Magellanic Diving-petrels (*Pelecanoides magellani*), suggesting a potential breeding site. These records provide new insights into seabird diversity and abundance in one of the least-studied regions of the southern Argentine Sea.

**KEYWORDS:** *Le Maire Strait, Mar Argentino, Pelecanoides, Procellaria westlandica*

## INTRODUCCIÓN

Las aves marinas son uno de los grupos de aves más amenazados, ya que más de la mitad de sus especies

se encuentran categorizadas bajo algún grado de amenaza de extinción de acuerdo a la Unión Internacional para la Conservación de la Naturaleza (IUCN 2025).

Dentro de sus principales amenazas se encuentran la presencia de especies invasoras dentro de sus áreas de nidificación y la mortalidad por pesca incidental en mar abierto (Croxall et al. 2012; Žydelis et al. 2013; Spatz et al. 2014; Dias et al. 2019). Muchas otras actividades humanas, como por ejemplo la sobrepesca, la polución ambiental, las luces artificiales, entre otras, también afectan a estas aves, ejerciendo un impacto negativo en sus poblaciones (Phillips et al. 2023). A pesar de esto, su visibilidad y comportamiento gregario, particularmente durante la reproducción, facilitan su monitoreo y estudio (Piatt et al. 2007). Las aves marinas, además, son indicadores clave del estado y la salud de los ecosistemas marinos. Estas aves consumen grandes cantidades de peces y zooplancton, por lo que juegan un rol importante en el funcionamiento de los ecosistemas marinos (Votier & Sherley 2017).

El Canal Beagle alberga importantes colonias reproductivas de aves marinas como el Pingüino Patagónico o de Magallanes (*Spheniscus magellanicus*), el Pingüino de Vincha (*Pygoscelis papua*), el Cormorán Imperial (*Leucocarbo atriceps*), el Cormorán Cuello Negro (*Leucocarbo magellanicus*), la Gaviota Cocinera (*Larus dominicanus*), la Gaviota Gris (*Leucophaeus scoresbii*) (Schiavini & Yorio 1995), y la Remolinería Negra (*Cinclodes maculirostris*) (La Grotteria 2018), entre otras. Allí también se han identificado especies abundantes como el Albatros Ceja Negra (*Thalassarche melanophrys*), el Gaviotín Sudamericano (*Sterna hirundinacea*) y la Escúa Canela (*Stercorarius chilensis*) (Raya Rey & Schiavini 2000). La Isla de los Estados, por otra parte, es considerada un área importante para las aves (Birdlife International 2025) ya que en ella se encuentran grandes colonias de Pingüino Penacho Amarillo (*Eudyptes chrysocome*), Pingüino Patagónico, Cormorán Imperial, entre otros. Por último, la información sobre la avifauna marina del Estrecho de Le Maire es escasa (Rumboll & Jehl 1977).

Si bien varios trabajos se han enfocado en la distribución y abundancia de las aves marinas en la plataforma continental argentina (Tickell & Woods 1972; Jehl 1974; Veit 1995; Montalti & Orgeira 1998; Orgeira 2001; La Grotteria & Sosa 2023), la información sobre la avifauna marina en las áreas mencionadas sigue siendo fragmentaria. Este trabajo intenta ser el complemento del realizado por Montalti & Orgeira (1998) desde Buenos Aires hasta el sur de Santa Cruz, y tiene como objetivo principal proporcionar una lista comentada de las aves marinas observadas en el Canal Beagle, el Estrecho de Le Maire, y la zona

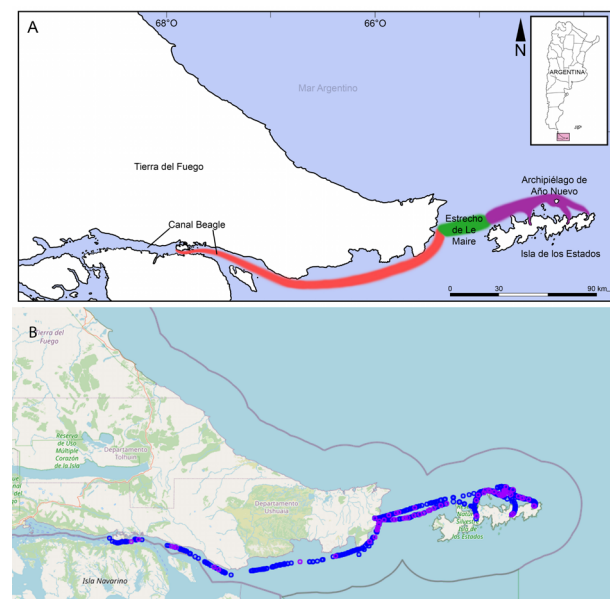
marítima al norte de Isla de los Estados y alrededores del Archipiélago de Año Nuevo, contribuyendo así al conocimiento sobre la distribución de estas aves en una región donde los estudios son escasos.

## MATERIALES Y MÉTODOS

### Área de estudio

El área de estudio comprende el Estrecho de Le Maire, las áreas marinas del norte de Isla de los Estados y el Canal Beagle al este de Isla Gable (Fig. 1).

El Estrecho de Le Maire, ubicado entre la Isla Grande de Tierra del Fuego y la Isla de los Estados, posee fuertes corrientes generadas por la influencia de aguas provenientes del Océano Pacífico y del Océano Atlántico Sur. Allí, la corriente del Cabo de Hornos, de baja salinidad debido al aporte de aguas continentales, in-



**Figura 1.** (A) Mapa del área de estudio. Los tramos se dividen en colores: el color rojo indica el tramo Isla Gable – Bahía Buen Suceso; el color verde el tramo Estrecho Le Maire; y el color violeta el tramo norte aledaño a Isla de los Estados y Archipiélago de Año Nuevo. (B) Puntos de aves registradas durante el recorrido de la Lancha Rápida A.R.A. "Indómita" (P-86). Los puntos azules indican un único registro; los puntos violetas o fucsias indican más de un registro. Los sectores sin puntos corresponden a trayectos nocturnos, con neblina o con otro tipo de actividades. Imagen generada por EcoRegistros utilizando tecnología de Open Layers - Open Street Maps.

**Figure 1.** (A) Map of the study area. The different segments of the route are shown in different colors: red indicates the Gable Island – Bahía Buen Suceso segment; green indicates the Le Maire Strait segment; and violet indicates the northern segment adjacent to Isla de los Estados and Año Nuevo Archipelago. (B) Bird points recorded during the journey of the Fast Patrol Boat A.R.A. "Indómita" (P-86). Blue dots indicate a single record; blue or fuchsia dots indicate more than one record. Sectors without dots correspond to nocturnal journeys, with fog, or with other types of activities. Image generated by EcoRegistros using Open Layers – Open Street Maps technology.

gresa a la plataforma continental generando las fuertes corrientes oceánicas (Acha et al. 2004; Dodino 2020).

La Isla de los Estados (540 km<sup>2</sup>) se ubica al este de la Isla Grande de Tierra del Fuego, de la cual está separada por el Estrecho de Le Maire. La Isla de los Estados y el Archipiélago de Año Nuevo están influenciados por las corrientes del Cabo de Hornos (por el oeste) y Malvinas (por el este), además del frente estuarial frío que atraviesa el Estrecho de Le Maire (Acha et al. 2004).

El Canal Beagle, un valle glacial inundado hace 8.000 años (Rabassa et al. 1986), conecta los océanos Pacífico y Atlántico (54°53'S, entre 66°30' y 70°O) y corre en dirección este-oeste a lo largo de la costa sur de la Isla Grande de Tierra del Fuego. Con una longitud de 180 km y un ancho promedio de 5 km (mínimo de 1,8 km en el archipiélago Gable), presenta profundidades variables (300 m en los brazos noroeste y sudoeste y un mínimo de 30 m en el Banco Gable) (Isla et al. 1999). La salinidad es variable, siendo influenciada por el deshielo y los cursos de agua dulce, y es mayor en la boca del canal ya que recibe la influencia

del océano Atlántico y disminuye hacia el este debido a la presencia de los glaciares (Raya Rey & Schiavini 2000). Una corriente fría fluye de oeste a este (Balestrini et al. 1998; Antezana 1999), con una temperatura promedio de 6,5°C. Numerosos cursos de agua de las islas Grande, Navarino y Hoste alimentan el canal (Isla et al. 1999).

### Relevamiento de aves

Se realizaron conteos de aves a bordo de la Lancha Rápida A.R.A. "Indómita" (P-86) partiendo el 11 de noviembre desde Ushuaia y llegando el 13 al mismo puerto. El trabajo fue realizado desde el puente de la lancha mientras se desplazaba a una velocidad promedio de 12 nudos. Los conteos fueron de 10 minutos de duración con un intervalo de 10 minutos cubriendo el fotoperíodo 05:30-19:00 h. El ángulo de observación fue de 180° aproximadamente hacia adelante y a 500 m a babor y estribor de la lancha, excluyendo a las aves seguidoras (aves que permanecen sobrevolando la popa de la embarcación durante largos períodos de tiempo; ver más adelante). Para la observación de las

**Tabla 1.** Detalle meteorológico de la lancha en cada lugar representativo de la campaña.

**Table 1.** Meteorological detail of the patrol boat at each representative location of the campaign.

Fecha/Hora	Lugar	Viento	Presión	Visibilidad	Estado de mar	Temperatura	Nubes	Velocidad del buque
11/11/2024 10h	Estrecho de Le Maire	10 nudos NO	998 hPa	98 (muy buena)	1 noroeste	11°C	2/8 tipo 4	14 nudos
11/11/2024 13h	Al oeste de Isla Observatorio	8 nudos NO	997 hPa	98 (muy buena)	1 noroeste	12°C	2/8 tipo 4	10 nudos
12/11/2024 07h	Entre Puerto Parry e Isla Observatorio	6 nudos NO	993 hPa	97 (muy buena)	1 norte	8°C	8/8 tipo 4	12 nudos
12/11/2024 12h	San Juan de Salvamento	12 nudos SO	994 hPa	96	1 suroeste	9°C	8/8 tipo 5	Buque fondeado con ancla
12/11/2024 14h	Entre San Juan del Salvamento e Isla Observatorio	17 nudos SO	995 hPa	-	2 suroeste	11°C	8/8 tipo 5	12 nudos
12/11/2024 17h	Puerto Cook	4 nudos S	996 hPa	98 (muy buena)	1 suroeste	11°C	8/8 tipo 4	Buque fondeado con ancla
12/11/2024 22h	Puerto Parry	10 nudos NO	993 hPa	95	1 noroeste	9°C	8/8 tipo 4	Buque amarrado a boyón
13/11/2024 06h	Puerto Parry	10 nudos O	992 hPa	98 (muy buena)	1	9°C	6/8 tipo 4	11 nudos
13/11/2024 07h	Estrecho de Le Maire	16 nudos O	995 hPa	98 (muy buena)	2 casi 3 oeste	9°C	8/8 tipo 4	14 nudos
13/11/2024 15h	Bahía Aguirre	8 nudos NO	997 hPa	97 (muy buena)	1 noroeste	11°C	8/8 tipo 5	10 nudos
13/11/2024 18h	Canal Beagle	15 nudos NO	996 hPa	97 (muy buena)	2 noroeste	11°C	6/8 tipo 5	11 nudos

especies fueron utilizados dos binoculares de 10x50 y para su identificación las guías de campo de Savigny (2021), Pearman & Areta (2020) y López-Lanús (2022). La diversidad de especies para cada área (Fig. 1) fue calculada según el Índice de Shannon-Wiener ( $H'$ ) utilizando el software PAST (Hammer et al. 2001) y agrupando todas las aves registradas en cada área durante los tres días.

Los datos fueron registrados con la aplicación para celulares EcoRegistros versión 3 (<https://www.ecoregistros.org/site/APP3.php>), en la cual se incluyeron las especies identificadas, las coordenadas geográficas tomadas con el dispositivo, la cantidad de individuos por especie, la hora del registro y comentarios importantes. Además, los datos de la velocidad de la lancha (en nudos) y variables ambientales como la temperatura del aire, la dirección e intensidad del viento, estado del mar, la presión atmosférica, la visibilidad y la cobertura nubosa fueron aportados por la central meteorológica de la embarcación (Tabla 1).

En algunos casos, bajo condiciones meteorológicas adversas, la identificación de algunas especies fenotípicamente similares resulta dudosa. En estos casos la especie ha sido determinada a nivel de género (e.g., *Macronectes* sp., *Sterna* sp., *Procellaria* sp.).

Para el caso de aves que siguen barcos por largos tramos, como *Macronectes* sp., hemos optado por un criterio mixto para su contabilización. Cuando se ven ejemplares muy similares aislados a lo largo de un trayecto, por ejemplo, ejemplares juveniles, todos oscuros, esperamos al menos 30 minutos para volver a registrarlos, que considerando una velocidad promedio en la lancha rápida de 12 nudos, serían 6 millas náuticas transcurridas. Si el ejemplar observado difiere en plumaje del anterior, por ejemplo, observamos un ejemplar juvenil todo oscuro, y luego observamos un ejemplar con la cabeza más clara y cuerpo negro (inmaduro), se registra sin considerar el tiempo transcurrido. Si frecuentemente estamos observando un ejemplar y de repente observamos una bandada de varios individuos posada, registramos la cantidad sin considerar el tiempo del anterior registro.

## RESULTADOS

### Conteo sistemático

Se registraron un total de 10.497 individuos pertenecientes a 22 especies de aves y seis identificadas a nivel de género. El valor más alto del índice de Shannon se registró en el Canal Beagle (Shannon  $H' = 1.183$ ), con algunas especies dominantes como la Pardela Oscura (*Ardenna grisea*), pero con cierta heterogeneidad en la composición. El norte de la Isla de los Estados e Isla Observatorio presentó un valor intermedio (Shannon  $H' = 0.7747$ ) al comparar las tres áreas, con especies dominantes como el Cormorán Imperial (más de 3.000 individuos), pero con una distribución de abundancias más equilibrada. En contraste, el Estrecho de Le Maire mostró la diversidad más baja (Shannon  $H' = 0.1485$ ), debido a la marcada dominancia de la Pardela Oscura, que representó la gran mayoría de los individuos registrados (más de 5.800), mientras el resto de las especies aparecieron en muy bajas abundancias (Tabla 2). Algunas especies fueron registradas una única vez, como el Petrel Damero (*Daption capense*) y la Paloma Antártica (*Chionis albus*) en el área del Canal Beagle entre Isla Gable y Bahía Buen Suceso, el Petrel Negro (*Procellaria westlandica*) y el Albatros Real del Sur (*Diomedea epomophora*) en el Estrecho de Le Maire, y el Yunco Común (*Pelecanoides urinatrix*) al norte de Isla de los Estados. Es de destacar además la abundancia del Yunco Magallánico (*Pelecanoides magellanicus*) registrada en esta última área. Con respecto a las condiciones ambientales, las principales diferencias entre áreas se relacionaron con el estado del mar, el viento y la nubosidad (Tabla 1).

### Lista comentada de las especies observadas

Las especies observadas correspondientes a Procellariiformes y sus patrones de distribución se detallan a continuación:

#### Albatros Real del Sur (*Diomedea epomophora*)

El 13 de noviembre a las 7:08h, observamos un ejemplar en el Estrecho de Le Maire (Fig. 2). Esta es-

**Tabla 2.** Lista de las especies exclusivas de la navegación, la cantidad de individuos registrados y el estado de conservación, según BirdLife Internacional (2024) a la izquierda y según MARYDS & AA (2017) a la derecha. AM: Amenazada; EN: Endangered/En Peligro; LC: Least Concern/ Poca preocupación; NA: No Amenazada; NT: Near Threatened/Casi Amenazada; VU: Vulnerable; Guión (-): Sin Categorización. Importancia numérica (abundancia relativa) = N individuos de la especie / Total de individuos de todas las especies x 100.

**Table 2.** List of species exclusive to the navigation, the number of individuals recorded, and the conservation status, according to BirdLife International (2024) on the left and according to MARYDS & AA (2017) on the right. AM: Threatened; EN: Endangered; LC: Least Concern; NA: Not Threatened; NT: Near Threatened; VU: Vulnerable; Dash (-): Uncategorized. Numerical importance (relative abundance) = N individuals of the species / Total individuals of all species x 100.

Espece	Estado de conservación IUCN	N individuos total	N individuos	Importancia numérica	Canal Beagle	N individuos	Importancia numérica	Estrecho de Le Maire	N individuos	Importancia numérica	N de Isla de los Estados e Isla Observatorio	N de Isla de la Soledad	N de Isla de la Esperanza	
<i>Chloephaga</i> sp.		2				2	0.033261267							
Caranca ( <i>Chloephaga hybrida</i> )	LC	7							7		0.178071737			
Pinguino Patagónico ( <i>Spheniscus magellanicus</i> )	LC	510	3	0.542495479		5	0.083153168		507		12.89748156			
Paíño Común ( <i>Oceanites oceanicus</i> )	LC	6				1	0.016630634			1	0.02543882			
Albatros Real ( <i>Diomedea epomophora</i> )	VU	1												
Albatros Ceja Negra ( <i>Thalassarche melanophrys</i> )	LC	157	30	5.424954792		54	0.898054216		73		1.857033834			
Albatros Ceja Negra ( <i>Thalassarche melanophrys</i> )	LC	98	4	0.723327306		8	0.133045069		86		2.187738489			
Petrel Gigante Común ( <i>Macronectes giganteus</i> )	LC	1				1	0.016630634							
<i>Macronectes</i> sp.														
Petrel Plateado ( <i>Fulmarus glacialis</i> )	LC	18	15	2.712477396		2	0.033261267		1		0.02543882			
Petrel Damero ( <i>Daption capense</i> )	LC	1	1	0.180831826										
Petrel Azulado ( <i>Halobaena caerulea</i> )	LC	1				1	0.016630634							
Petrel Barba Blanca ( <i>Procellaria aequinoctialis</i> )	VU	2	2	0.361663653										
Petrel Negro ( <i>Procellaria westlandica</i> )	EN	1				1	0.016630634							
<i>Procellaria</i> sp.		2				2	0.033261267							
Pardela Oscura ( <i>Ardenna grisea</i> )	NT	6315	362	65.46112116		5881	97.80475636		72		1.831595014			
Yunco Magallánico ( <i>Pelecanoides magellanicus</i> )	LC	18				1	0.016630634		17		0.432455934			
Yunco Común ( <i>Pelecanoides urinatrix</i> )	LC	1							1		0.02543882			
<i>Pelecanoides</i> sp.		3									0.076316459			
Coromorán Imperial ( <i>Leucocarbo atriceps</i> )	LC	3243	85	15.37070524		26	0.432396474		3132		79.67438311			
Paloma Antártica ( <i>Chionis albus</i> )	LC	1	1	0.180831826										
Ostrero Austral ( <i>Haematopus leucocephalus</i> )	LC	2							2		0.050877639			
Gaviota Cocinera ( <i>Larus dominicanus</i> )	LC	26	1	0.180831826		15	0.249459504		10		0.254388196			
Gaviotín Sudamericano ( <i>Sterna hirundinacea</i> )	LC	59	47	8.499095841		10	0.166306336		2		0.050877639			
<i>Sterna</i> sp.		1				1	0.016630634							
Salteador Subantártico ( <i>Stercorarius antarcticus</i> )	LC	1							1		0.02543882			
Salteador Acanelado ( <i>Stercorarius chilensis</i> )	LC	3	1	0.180831826					2		0.050877639			
<i>Stercorarius</i> sp.		16	1	0.180831826		2	0.033261267		13		0.330704655			
Carancho ( <i>Caracara plancus</i> )	LC	1							1		0.02543882			
Total individuos por sector		10497	553	1.183		6013	0.1485		3931		0.7747			
Shannon-Wiener (H')														

pecie, que nidifica en Nueva Zelanda, fue observada cuando las condiciones climáticas empeoraron en relación con los días anteriores, con vientos promediando los 16 nudos y un estado de mar levemente agitado (marejada) (Tabla 2). La identificación de la especie fue debatida y resulta controversial, pero considerando las zonas blancuzcas en los codos y las marcas carpales poco extensas, se llegó a la conclusión de que se trata de un joven Albatros Real del Sur, que ya mudó todas sus timoneras, perdió las manchas dorsales y está comenzando a blanquear en la zona de los codos. Se comprende que para esta etapa el ejemplar está demasiado negro dorsalmente, pero no se descarta la existencia de ese patrón o variación individual. La especie se encuentra en estado de conservación Vulnerable (BirdLife International 2024).



**Figura 2.** Albatros Real del Sur (*Diomedea epomophora*) observado el 13 de noviembre de 2024 en el Estrecho de Le Maire. Fotografía: La Grotteria J.

**Figure 2.** Southern Royal Albatross (*Diomedea epomophora*) observed on November 13, 2024, in the Le Maire Strait. Photograph: La Grotteria J.

#### Albatros Ceja Negra (*Thalassarche melanophrys*)

Este albatros es el más numeroso y el segundo del orden Procellariiformes más abundante en nuestras observaciones, luego de la Pardela Oscura (ver más abajo). Esta especie está representada por un total de 157 individuos (Fig. 3) y fue registrada en todas las navegaciones. Observada generalmente como ejemplares solitarios, a excepción de la navegación desde San Juan del Salvamento hacia Isla Observatorio, donde, al este de la Isla de los Estados, se encontraban unos 60 individuos.



**Figura 3.** (A) Albatros Ceja Negra (*Thalassarche melanophrys*) observado el 11 de noviembre de 2024 al norte de San Juan del Salvamento, Isla de los Estados. (B) Detalle del mapa mostrando los puntos de las observaciones del Albatros Ceja Negra. Imagen generada por Eco-Registros utilizando tecnología de Open Layers - Open Street Maps. Fotografía: La Grotteria J.

**Figure 3.** (A) Black-browed Albatross (*Thalassarche melanophrys*) observed on November 11, 2024, north of San Juan del Salvamento, Isla de los Estados. (B) Map detail showing the observation points of the Black-browed Albatross. Image generated by EcoRegistros using Open Layers - Open Street Maps technology. Photograph: La Grotteria J.

#### Paiño Común (*Oceanites oceanicus*)

Registramos seis individuos en el conteo sistemático (Fig. 4) y, algunos más en momentos fuera de conteo, que posiblemente eran distintos ejemplares que los contabilizados. La mayor cantidad de individuos fueron observados en el Estrecho de Le Maire. El 12 de noviembre a las 07:06h, un ejemplar ingresó a la cocina del buque y fue liberado. Esto último coincide con lo mencionado por Castellanos (1935), que señala ejemplares de esta especie atraídos por las luces del barco cuando anclaban a la noche en los puertos de Isla de los Estados.

#### Petrel Damero (*Daption capense*)

Un único ejemplar registrado al oeste del Estrecho de Le Maire, el 11 de noviembre a las 05:55h, en las coordenadas: 54°51'S, 65°13'O (Fig. 5). La especie nidifica en la Antártida e Islas del Atlántico Sur y llega a aguas de latitudes superiores en invierno (Savigny 2021).



**Figura 4.** (A) Paiño Común (*Oceanites oceanicus*) observado el 12 de noviembre de 2024 entre Isla Observatorio e Isla de los Estados. (B) Detalle del mapa mostrando los puntos de las observaciones de Paiño Común. Imagen generada por EcoRegistros utilizando tecnología de Open Layers - Open Street Maps. Fotografía: La Grotteria J.

**Figure 4.** (A) Wilson's Storm Petrel (*Oceanites oceanicus*) observed on November 12, 2024, between Observatorio Island and Isla de los Estados. (B) Map detail showing the observation points of the Wilson's Storm Petrel. Image generated by EcoRegistros using Open Layers - Open Street Maps technology. Photograph: La Grotteria J.



**Figura 5.** Petrel Damero (*Daption capense*) observado el 11 de noviembre de 2024 al oeste del Estrecho de Le Maire. Fotografía: La Grotteria J.

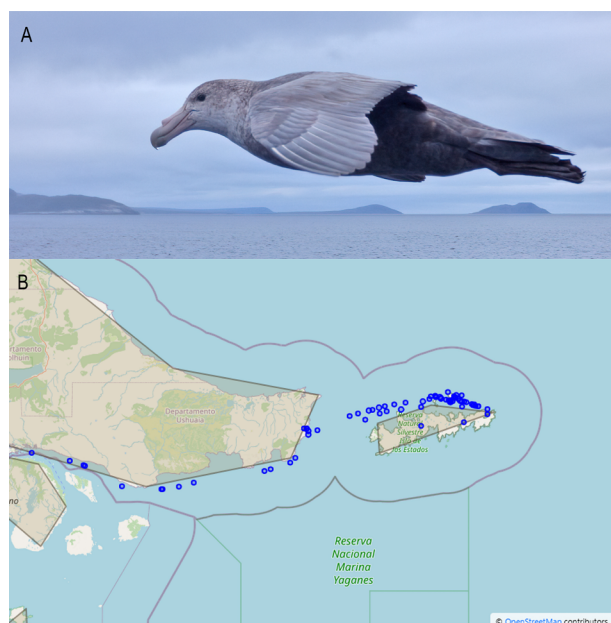
**Figure 5.** Cape Petrel (*Daption capense*) observed on November 11, 2024, west of the Le Maire Strait. Photograph: La Grotteria J.

### Petrel Gigante Antártico (*Macronectes giganteus*)

Esta especie fue el tercer procelariforme más abundante. Estuvo presente en todos los tramos de las navegaciones, especialmente al sur de la Isla Observatorio y entre Isla Observatorio y San Juan del Salvamento, donde registramos la mayor concentración. Observamos la especie con un total de 98 individuos (Fig. 6). Esta especie se reproduce en el norte de la Patagonia, provincia de Chubut: Isla Arce e Isla Gran Robredo y en Isla Observatorio (Quintana et al. 2005).

### Petrel Plateado (*Fulmarus glacialisoides*)

A pesar de registrar un único ejemplar en las inmediaciones del Archipiélago de Año Nuevo ( $54^{\circ}39'S$ ,  $64^{\circ}17'W$ ), contabilizamos otros 17 ejemplares en zonas costeras, incluyendo el oeste del Estrecho de Le Maire y el Canal Beagle (Fig. 7). Se resalta una cantidad considerable, teniendo en cuenta que es una especie que nidifica en Antártida e Islas del Atlántico Sur (Savigny 2021) que, en la época del relevamiento (11-13 noviembre), debería concentrarse en aguas más australes.



**Figura 6.** (A) Petrel Gigante Antártico (*Macronectes giganteus*) observado el 12 de noviembre de 2024 entre Isla Observatorio e Isla de los Estados. (B) Detalle del mapa mostrando los puntos de las observaciones de Petrel Gigante Antártico. Imagen generada por EcoRegistros utilizando tecnología de Open Layers - Open Street Maps. Fotografía: Sosa MA.

**Figure 6.** (A) Southern Giant Petrel (*Macronectes giganteus*) observed on November 12, 2024, between Observatorio Island and Isla de los Estados. (B) Map detail showing the observation points of the Southern Giant Petrel. Image generated by EcoRegistros using Open Layers - Open Street Maps technology. Photograph: Sosa MA.

### Petrel Negro (*Procellaria westlandica*)

También conocido como Petrel de Westland. Un ejemplar de esta especie, posiblemente un juvenil, fue observado el 13 de noviembre a las 7:08h (Fig. 8), en simultáneo con el Albatros Real del Sur, al oeste de la Isla de los Estados, en el Estrecho de Le Maire ( $54^{\circ}46'S$ ,  $64^{\circ}51'W$ ). Se trata de una especie que nidifica en Nueva Zelanda y se dispersa por el sur del océano Pacífico (BirdLife International 2018), llegando en forma muy escasa al océano Atlántico (López-Lanús 2022).

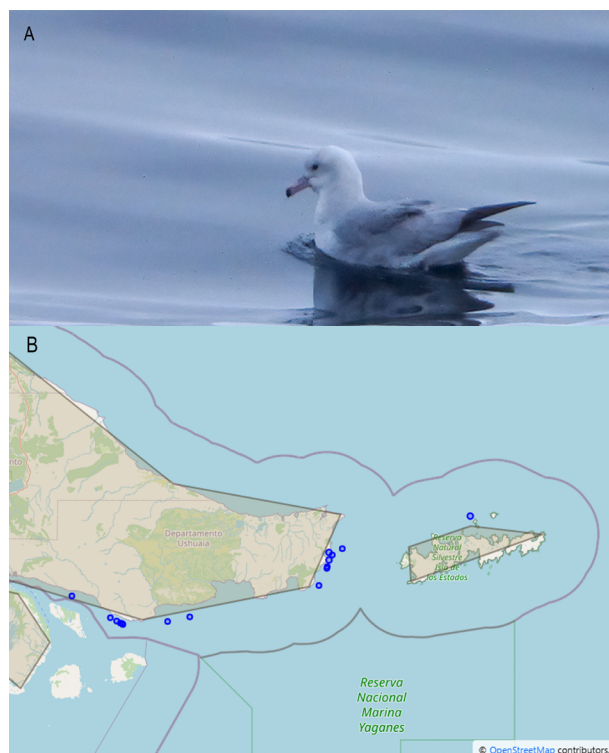
### Petrel Barba Blanca (*Procellaria aequinoctialis*)

Esta especie posiblemente fue subobservada debido a que algunos ejemplares del género *Procellaria* no pudieron ser identificados específicamente debido a las condiciones de navegación en el Estrecho de Le Maire, que incluyeron poca luz y mucho movimiento del buque. Además, no todos los ejemplares se exhiben de la forma necesaria para apreciar fielmente la



**Figura 8.** Detalle de Petrel Negro (*Procellaria westlandica*) observado el 13 de noviembre de 2024 en el Estrecho de Le Maire. Notar la coloración oscura del ápice del pico y del culmen. Fotografía: La Grotteria J.

**Figure 8.** Detail of Westland Petrel (*Procellaria westlandica*) observed on November 13, 2024, in the Le Maire Strait. Note the dark coloring of the bill apex and culmen. Photograph: La Grotteria J.



**Figura 7.** (A) Petrel Plateado (*Fulmarus glacialis*) observado el 12 de noviembre de 2024 en el Estrecho de Le Maire. (B) Detalle del mapa mostrando los puntos de las observaciones de Petrel Plateado. Imagen generada por EcoRegistros utilizando tecnología de Open Layers - Open Street Maps. Fotografía: Sosa MA.

**Figure 7.** (A) Southern Fulmar (*Fulmarus glacialis*) observed on November 12, 2024, in the Le Maire Strait. (B) Map detail showing the observation points of the Southern Fulmar. Image generated by EcoRegistros using Open Layers - Open Street Maps technology. Photograph: Sosa MA.



**Figura 9.** Petrel Barba Blanca (*Procellaria aequinoctialis*) observado el 13 de noviembre de 2024 en el tramo entre Isla Gable y Bahía Buen Suceso. Fotografía: La Grotteria J.

**Figure 9.** White-chinned Petrel (*Procellaria aequinoctialis*) observed on 13 November 2024 in the segment between Gable Island and Bahía Buen Suceso. Photograph: La Grotteria J.

coloración del ápice del pico y la barbilla, más aún habiendo confirmado previamente al Petrel Negro (*Procellaria westlandica*) con su gran parecido. A pesar de la dificultad de confirmar específicamente cada ejemplar de *Procellaria*, hemos podido observar de forma contundente e incluso obtener evidencias fotográficas de dos ejemplares de la especie (Fig. 9) el 13 de noviembre en la boca del Canal Beagle en dos oportunidades ( $55^{\circ}02'S$ ,  $66^{\circ}07'W$  y  $55^{\circ}01'S$ ,  $66^{\circ}02'W$ ).

#### Pardela Oscura (*Ardenna grisea*)

Esta especie fue, con diferencia, la más abundante de todos los Procellariiformes. Aunque en algunas navegaciones no estuvo presente, especialmente en algunas realizadas por el norte de la Isla de los Estados, cuando fue observada, siempre lo hicimos en grandes cantidades. Al norte de la Isla de los Estados solo la hemos detectado reiteradas veces al sur de Isla Observatorio. Rumboll & Jehl (1977) suponen que la Isla de los Estados podría ser zona de nidificación para esta especie, hecho que fue confirmado recientemente por Raya Rey et al. (2024), y la concentración de nuestras observaciones al norte de Isla de los Estados fue coin-

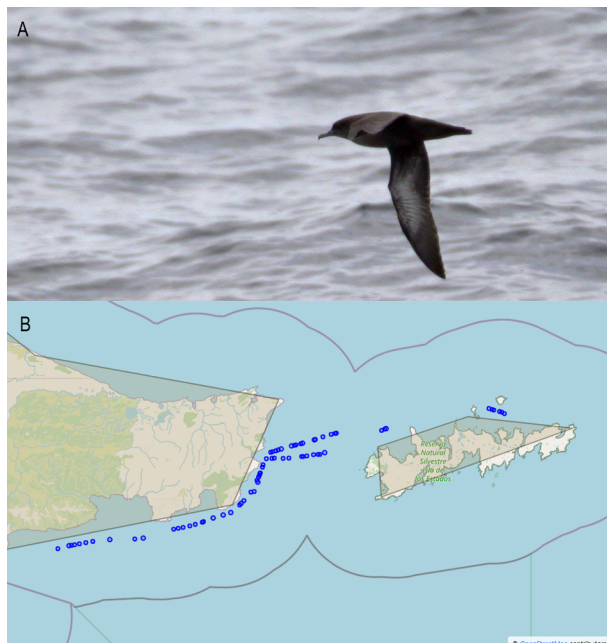
cidente con la colonia reproductiva encontrada por Raya Rey et al. (2024) en Roca Harbour. En el oeste del Estrecho de Le Maire, cerca de la costa, sus largas filas se tornaban interminables, lo que fue coincidente con las grandes bandadas mencionadas para el Estrecho de Le Maire y la Isla de los Estados por Rumboll & Jehl (1977). Contabilizamos menor cantidad de puntos de coordenadas de esta especie en comparación con aves marinas que suelen observarse solitarias, como el Albatros Ceja Negra y el Petrel Gigante Común. Esto es acorde a su costumbre gregaria, pero la cifra estimada de individuos total fue muy superior a la de las demás especies, llegando a 6.315 individuos (Fig. 10).

#### Yunco Común (*Pelecanoides urinatrix*)

También conocido como Petrel Zambullidor Subantártico. Detectamos tres ejemplares dispersos al norte de la Isla de los Estados en distintos momentos de los días 11 y 12 de noviembre (Fig. 11), aunque sólo uno de ellos entró en el conteo sistemático. Lo diferenciamos del Yunco Geórgico (*P. georgicus*) porque los individuos observados carecían de escapulares marcadas y poseían notables tapadas grises oscuras. Además, en uno de los ejemplares pudimos constatar que la punta de las patas sobrepasaba las timoneras centrales, siendo que en el Yunco Geórgico esto último no sucede (Savigny 2021). Dos de ellos se encontraron fuera de la potencial zona de Yunco Magallánico, que comprende el oeste de Islas Año Nuevo y el noroeste de Isla de los Estados ( $54^{\circ}39'S$ ,  $64^{\circ}15'W$  y  $54^{\circ}40'S$ ,  $64^{\circ}12'W$ ), mientras que otro se encontró en esta zona ( $54^{\circ}40'S$ ,  $64^{\circ}20'W$ ), pero en el borde límite donde dejamos de observar Yunco Magallánico.

#### Yunco Magallánico (*Pelecanoides magellani*)

También conocido como Petrel Zambullidor Magallánico o Yunco Ceja Blanca. Especie que usualmente se avista en solitario o en bajo número. Registramos una gran cantidad de ejemplares al noroeste de la Isla de los Estados, con una concentración notable en las inmediaciones de Puerto Parry, con 28 individuos en 16 coordenadas geográficas (Fig. 12), de los cuales 18 entraron en el conteo sistemático. Es importante destacar que todos los ejemplares se hallaron al oeste del Archipiélago de Año Nuevo, y no fue detectado en las navegaciones al este de Isla Observatorio. Esta especie fue observada en los tres días de navegación. Estos registros se revisten de importancia, ya que indican fuertes posibilidades de reproducción en esas costas debido a la alta concentración observada en esas fe-



**Figura 10.** (A) Pardela Oscura (*Ardenna grisea*) observada el 13 de noviembre de 2024 en la boca del Canal Beagle. (B) Detalle del mapa mostrando los puntos de las observaciones de Pardela Oscura. Imagen generada por EcoRegistros utilizando tecnología de Open Layers - Open Street Maps. Fotografía: La Grotteria J.

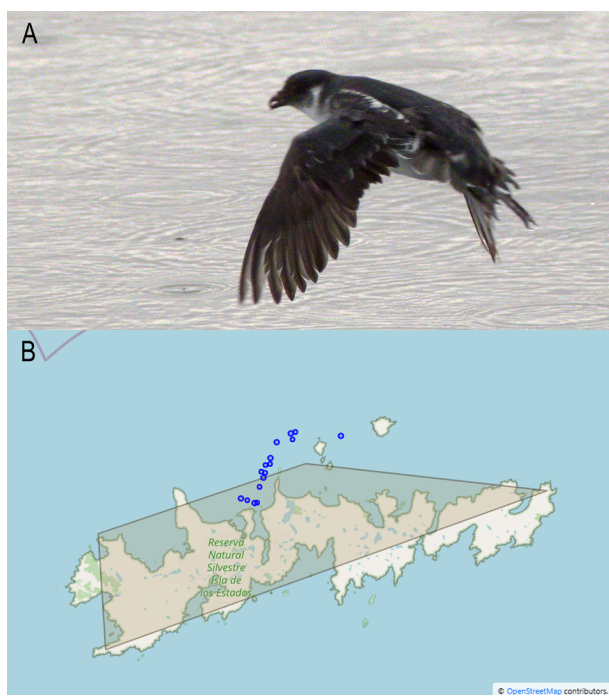
**Figure 10.** (A) Sooty Shearwater (*Ardenna grisea*) observed on November 13, 2024, at the mouth of the Beagle Channel. (B) Map detail showing the observation points of the Sooty Shearwater. Image generated by EcoRegistros using Open Layers - Open Street Maps technology. Photograph: La Grotteria J.

chas. Si bien la bibliografía sugiere que esta especie podría reproducirse en Isla de los Estados (Quintana et al. 2005), no hay información detallada de áreas ni publicación al respecto, solo menciones dispersas, siendo esta la sugerencia más fuerte y concreta que existe hasta el momento, con datos cercanos a tierra y condensados, que sugiere como área potencial de nidificación la comprendida entre Puerto Parry y Archipiélago Año Nuevo.



**Figura 11.** Yunco Común (*Pelecanoides urinatrix*) observado el 12 de noviembre de 2024 al norte de Isla de los Estados. Fotografía: La Grotteria J.

**Figure 11.** Common Diving Petrel (*Pelecanoides urinatrix*) observed on November 12, 2024, north of Isla de los Estados. Photograph: La Grotteria J.



**Figura 12.** (A) Yunco Magallánico (*Pelecanoides magellani*) observado el 12 de noviembre de 2024 al norte de Isla de los Estados. (B) Detalle del mapa mostrando los puntos de las observaciones de Yunco Magallánico. Imagen generada por EcoRegistros utilizando tecnología de Open Layers - Open Street Maps. Fotografía: La Grotteria J.

**Figure 12.** (A) Magellanic Diving Petrel (*Pelecanoides magellani*) observed on November 12, 2024, north of Isla de los Estados. (B) Map detail showing the observation points of the Magellanic Diving Petrel. Image generated by EcoRegistros using Open Layers - Open Street Maps technology. Photograph: La Grotteria J.

### Petrel Azulado (*Halobaena caerulea*)

Un ejemplar observado en el oeste del Estrecho de Le Maire ( $54^{\circ}48'S$ ,  $65^{\circ}06'W$ ), el 13 de noviembre a las 7:49h (Fig. 13), con las mismas condiciones de mar presentes cuando observamos al Albatros Real del Sur (Tabla 1). La observación se realizó muy cerca de la costa, posicionados a una distancia de 6,63 km de la Península Mitre. Esta especie resulta de interés porque en las fechas del relevamiento nidifica en islas del Cabo de Hornos, Islas Georgias del Sur y Diego Ramírez (Savigny 2021).



**Figura 13.** Petrel Azulado (*Halobaena caerulea*) fotografiado el 13 de noviembre de 2024 en el Estrecho de Le Maire. Fotografía: La Grotteria J.

**Figure 13.** Blue Petrel (*Halobaena caerulea*) photographed on November 13, 2024, in the Le Maire Strait. Photograph: La Grotteria J.

## DISCUSIÓN

Entre los registros más relevantes de todo el relevamiento se encuentra el Petrel Negro (*Procellaria westlandica*), especie que se encuentra clasificada como “En Peligro” (BirdLife International 2024). Obtuvimos evidencias fotográficas, que serían de las pocas concretas para esta especie para Argentina. Su presencia en aguas argentinas es excepcional, con escasos registros confirmados (eBird 2025; EcoRegistros 2025) y limitados en el Canal Beagle y el Estrecho de Le Maire (Whitney & Stejskal 1992; Brinkley et al. 2000; Savigny 2021) y quizás subobservada debido a su fácil confusión con el Petrel Barba Blanca.

Respecto a la posible reproducción de *Pelecanoides* spp. en Isla de los Estados, Rumboll & Jehl (1977) mencionan que estas aves fueron comunes en el Canal Beagle y el Estrecho de Le Maire en septiembre y en la Isla de los Estados en octubre, y que probablemente se tratasen de *Pelecanoides urinatrix*. Posteriormente, Quintana et al. (2005) sugieren mediante una observación personal que alguna de las especies del género, sin

especificar cual, nidifica con evidencias en Isla de los Estados, y mencionan que esto no se encontraba hasta ese momento confirmado. No obstante, esto es solo mencionado en la introducción del artículo, sin agregar más detalle, y no hay más menciones del género ni alguna de sus especies en el resto del trabajo. Falabella et al. (2019) señalan que todavía en ese momento se desconocían las colonias de reproducción del Yunco Magallánico, no mencionan nada sobre la reproducción de la especie en Isla de los Estados, pero sospechan que se reproduce en territorio chileno. Nuestro relevamiento marca una concentración fuerte de Yunco Magallánico al noroeste de la Isla de los Estados y al oeste de Islas Año Nuevo, lo que constituye un potencial sitio de nidificación de la especie en las costas aledañas a estas coordenadas, que, si bien continúa sin confirmarse, es una aproximación más concreta de lo conocido hasta el momento. Estos datos son muy próximos al área estudiada por Balza et al. (2022) que prospectaron Isla Observatorio e Isla Goffré sin mencionar reproducción de ninguna especie de *Pelecanoides*, lo que reduce aún más el área de búsqueda para sus posibles colonias, y reviste de importancia seguir investigando el área en la búsqueda de más información para conocer la reproducción de esta enigmática especie.

## AGRADECIMIENTOS

Agradecemos enormemente a la Armada Argentina, al Comandante del Área Naval Austral Contraalmirante José Alberto Martí Garro, a la Lancha Rápida A.R.A. Indómita (P-86), al Capitán de Corbeta Comandante Osvaldo Martín Cruz Figueroa, al Teniente de Navío Segundo Comandante Cristian Maximiliano León, a la Plana Mayor y a toda la dotación, por su colaboración por brindarnos el apoyo logístico que nos permitió acceder a lugares tan remotos y tan poco conocidos para la avifauna argentina. También agradecemos a María Florencia Sosa por su ayuda en la traducción del Abstract. Esperamos que los resultados de este estudio contribuyan a un mayor conocimiento de la fauna de Isla de los Estados, Archipiélago de Año Nuevo y la región marítima argentina austral. Para nosotros fue un honor ser testigos de cómo se hace patria en la Isla de los Estados.

## REFERENCIAS

Acha EM, Mianzan HW, Guerrero RA, Favero M, Bava J (2004) Marine fronts at the continental shelves of austral South America. Physical and ecological pro-

- cesses. *Journal of Marine Systems* 44: 83-105. <https://doi.org/10.1016/j.jmarsys.2003.09.005>
- Antezana T (1999) Hydrographic features of Magellan and Fuegian inland passages and adjacent Subantarctic waters. *Scientia Marina* 63: 23-34
- Balestrini C, Manzanella G, Lovrich GA (1998) Simulación de corrientes en el Canal Beagle y Bahía Ushuaia, mediante un modelo bidimensional. *Servicio de Hidrografía Naval* 98: 1-58
- Balza U, Liljeström M, Pimper L, Franco-Navarro I, Cañas-Barrovecchio S, Zunino F, Domato I, Acardi S, Iturraspe R, Cano J, Raya-Rey A (2022) Status of breeding birds at Observatorio and Goffré Islands, Argentina. *Polar Biology* 45: 667-673. <https://doi.org/10.1007/s00300-022-03019-2>
- BirdLife International (2018) Species technical sheet: *Procellaria westlandica*. <https://datazone.birdlife.org/species/factsheet/westland-petrel-procellaria-westlandica>. Accedido el 15/3/2025
- Birdlife International (2024) IUCN Red List for birds. <https://datazone.birdlife.org/species/search>. Accedido el 1/12/2024
- Birdlife International (2025) Site technical sheet: Isla de los Estados - Banco Burdwood. <https://datazone.birdlife.org/site/factsheet/isla-de-los-estados-islas-de-año-nuevo-e-islotes-adyacentes-iba-argentina>. Accedido el 4/1/2025
- Brinkley ES, Howell SNG, Force MP, Spear LB, Ainley DC (2000) Status of the Westland Petrel (*Procellaria westlandica*) off South America. *Notornis* 47(4): 179-183. <https://doi.org/10.63172/702138gykzbe>
- Castellanos A (1935) Observaciones de algunas aves de Tierra del Fuego e Isla de los Estados. *El Hornero* 6(1): 22-35. <https://doi.org/10.56178/eh.v6i1.287>
- Croxall JP, Butchart SHM, Lascelles B, Stattersfield AJ, Sullivan B, Symes A, Taylor P (2012) Seabird conservation status, threats and priority actions: a global assessment. *Bird Conservation International* 22(1): 1-34. <https://doi.org/10.1017/S0959270912000020>
- Dias MP, Martin R, Pearmain EJ, Burfield IJ, Small C, Phillips RA, Yates O, Lascelles B, García Borboroglu P, Croxall JP (2019) Threats to seabirds: a global assessment. *Biological conservation* 237: 525-537. <https://doi.org/10.1016/j.biocon.2019.06.033>
- Dodino SG (2020) *Ecología trófica del Pingüino de Magallanes Spheniscus magellanicus en Isla de Los Estados y Canal Beagle: variación temporal, espacial y consistencias individuales*. Tesis Doctoral. Universidad de Buenos Aires, Buenos Aires, Argentina
- eBird (2025) eBird: An online database of bird distribution and abundance [web application]. eBird, Cornell Lab of Ornithology, Ithaca, New York (URL: <http://www.ebird.org>)

- EcoRegistros (2025) Base de datos de registros de la comunidad. <https://www.ecoregistros.org>. Accedido el 7/9/2025
- Falabella V, Tamini L, García Borboroglu P, Frere E, Seco Pon JP, Simeone Cabrera A, Stanworth A, Suazo C, Campagna C (2019) Informe del Primer Taller Regional de Evaluación del Estado de Conservación de Especies para el Mar Patagónico según criterios de la Lista Roja de UICN: Aves Marinas. Foro para la Conservación del Mar Patagónico y áreas de influencia
- Hammer Ø, Harper DAT, Ryan PD (2001) PAST: Paleontological Statistics software package for education and data analysis. *Paleontología Electronica* 4(1): 1- 9
- Isla F, Bujalesky G, Coronato A (1999) Procesos estuariños en el Canal Beagle, Tierra del Fuego. *Revista de la Asociación Geológica Argentina* 54(4): 307-318
- IUCN (2025) The IUCN Red List of Threatened Species. Version 2025-2. <https://www.iucnredlist.org/>. Accedido el 15/3/2025
- Jehl JR (1974) The distribution and ecology of marine birds over the continental shelf of Argentina in winter. *Transactions of the San Diego Society of Natural History* 17(16): 217-234
- La Grotteria J (2018) Comportamiento reproductivo de la Remolinera Negra (*Cinclodes maculirostris*). *EcoRegistros Revista* 8(11): 35-40
- La Grotteria J, Sosa MA (2023) Lista comentada de las aves observadas en navegación entre Puerto Belgrano y la Ciudad Autónoma de Buenos Aires, Argentina. *Nuestras Aves* 68: 147-156. <https://doi.org/10.56178/na.vi68.1012>
- López-Lanús B (2022) *Guía Audiornis de las Aves de Argentina, fotos y sonidos. Identificación por características contrapuestas y marcas sobre imágenes. Quinta Edición.* Audiornis Producciones. Buenos Aires
- Montalti D, Orgeira JL (1998) Distribución de aves marinas en la costa patagónica argentina. *Ornitología Neotropical* 9(2): 193-199
- Orgeira JL (2001) Distribución espacial de densidades de aves marinas en la plataforma continental argentina y Océano Atlántico Sur. *Ornitología Neotropical* 12(1): 45-55
- Pearman M, Areta JI (2020) *Birds of Argentina and the South-west Atlantic*. Field Guide. Helm, London
- Phillips RA, Fort J, Dias MP (2023) Conservation status and overview of threats to seabirds. En: Young L, Vanderwerf E (eds) *Conservation of marine birds*. Academic Press, London, pp 33-56
- Piatt JF, Sydeman WJ, Wiese F (2007) Introduction: A modern role for seabirds as indicators. Seabirds as indicators of marine ecosystems, *Marine Ecology Progress Series* 352: 199-204. <https://doi.org/10.3354/meps07070>
- Quintana F, Schiavini A, Copello S (2005) Estado poblacional, ecología y conservación del Petrel Gigante del Sur (*Macronectes giganteus*) en Argentina. *El Hornero* 20(1): 25-34. <https://doi.org/10.56178/eh.v20i1.817>
- Rabassa J, Heusser CJ, Stuckenrath R (1986) New data on Holocene sea transgression in the Beagle Channel: Tierra del Fuego, Argentina. En: Rabassa J (ed) *Quaternary of South America & Antarctic Peninsula*. CRC Press, London, pp 291-309
- Raya Rey A, Balza U, Domato I, Salom A, Pütz K (2024) Breeding confirmation and habitat utilization of Sooty Shearwater (*Ardenna grisea*) on Isla de los Estados, Argentina. *Polar Biology* 47(10): 1159-1164. <https://doi.org/10.1007/s00300-024-03285-2>
- Raya Rey A, Schiavini ACM (2000) Distribution, abundance and associations of seabirds in the Beagle Channel, Tierra del Fuego, Argentina. *Polar Biology* 23: 338-345. <https://doi.org/10.1007/s003000050453>
- Rumboll MAE, Jehl Jr JR (1977) Observations on pelagic birds in the South Atlantic Ocean in the Austral Spring. *Transactions of the San Diego Society of Natural History* 19(1): 1-16
- Savigny C (2021) *Aves del Atlántico Sudoccidental & Antártida*. Ediciones LBN, La Plata
- Schiavini A, Yorio P (1995) Distribution and abundance of seabird colonies in the Argentine sector of the Beagle Channel, Tierra del Fuego. *Marine Ornithology* 23(1): 39-46. <http://doi.org/10.5038/2074-1235.23.1.321>
- Spatz DR, Newton KM, Heinz R, Tershy B, Holmes ND, Butchart SHM, Croll DA (2014) The biogeography of globally threatened seabirds and island conservation opportunities: seabird conservation opportunities. *Conservation Biology* 28(5): 1282-1290. <https://doi.org/10.1111/cobi.12279>
- Tickell LN, Woods RW (1972) Ornithological observations at sea in the South Atlantic Ocean, 1954-64. *British Antarctic Survey Bulletin* 31: 63-84
- Veit RR (1995) Pelagic communities of seabirds in the South Atlantic Ocean. *Ibis* 137(1): 1-10. <https://doi.org/10.1111/j.1474-919X.1995.tb03213.x>
- Votier SC, Sherley RB (2017) Seabirds. *Current Biology* 27(11): R448 - R450. <https://doi.org/10.1016/j.cub.2017.01.042>
- Whitney BM, Stejskal DJ (1992) *Procellaria westlandica* en el Canal de Beagle. *El Hornero* 13(3): 252-254. <https://doi.org/10.56178/eh.v13i3.1086>
- Žydelis R, Small C, French G (2013) The incidental catch of seabirds in gillnet fisheries: a global review. *Biological Conservation* 162: 76-88. <https://doi.org/10.1016/j.biocon.2013.04.002>